

Eingabe: Farbmimetrisches Reflexions-System MRS18a

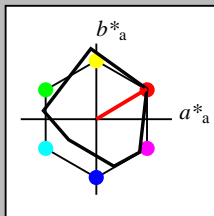
für Buntton $h^* = lab \cdot h = 31/360 = 0.086$

$lab \cdot tch$ und $lab \cdot nch$

D65: Buntton R

LCH*Ma: 50 78 31

rgb*Ma: 1.0 0.0 0.0



MRS18a; adaptierte CIELAB-Daten					
	$L^*=L^*_a$	a^*_a	b^*_a	$C^*_{ab,a}$	$h^*_{ab,a}$
RMa	49.63	66.8	40.02	77.87	31
JMa	90.7	-7.27	93.19	93.48	94
GMa	52.11	-69.93	11.26	70.85	171
G50BMa	45.03	-36.65	-27.13	45.61	217
BMa	36.65	23.26	-62.27	66.49	290
B50RMa	34.94	57.27	-43.6	71.99	323
NMa	18.01	0.0	0.0	0.0	0
WMa	95.41	0.0	0.0	0.0	0
RCIE	39.92	58.67	27.97	64.99	25
JCIE	81.26	-2.91	71.56	71.62	92
GCIE	52.23	-42.47	13.58	44.6	162
BCIE	30.57	1.33	-46.48	46.51	272

Dreiecks-Helligkeit t^*

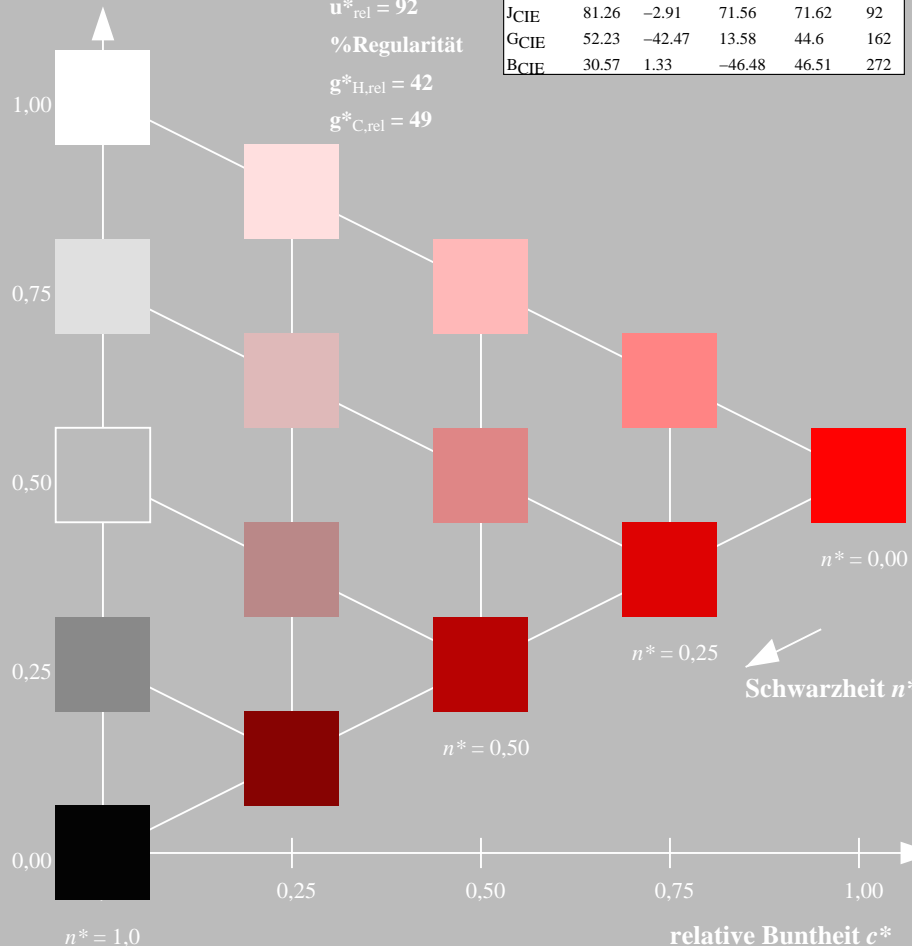
%Umfang

$u^*_{rel} = 92$

%Regularität

$g^*_{H,rel} = 42$

$g^*_{C,rel} = 49$



UG260-7, 5 stufige Reihen für konstanten CIELAB Buntton 31/360 = 0.086 (links)

Ausgabe: Farbmimetrisches Reflexions-System ORS18

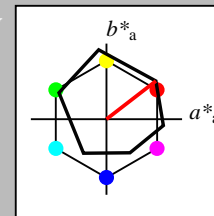
für Buntton $h^* = lab \cdot h = 38/360 = 0.105$

$LAB \cdot LCH$, $LAB \cdot NCH$

D65: Buntton O

LCH*Ma: 48 83 38

rgb*Ma: 1.0 0.0 0.0



ORS18; adaptierte CIELAB-Daten					
	$L^*=L^*_a$	a^*_a	b^*_a	$C^*_{ab,a}$	$h^*_{ab,a}$
OMa	47.94	65.37	50.52	82.62	38
YMa	90.37	-10.27	91.77	92.34	96
LMa	50.9	-62.79	34.95	71.87	151
CMa	58.62	-30.35	-45.01	54.3	236
VMa	25.71	31.11	-44.42	54.24	305
MMa	48.13	75.27	-8.35	75.73	354
NMa	18.01	0.0	0.0	0.0	0
WMa	95.41	0.0	0.0	0.0	0
RCIE	39.92	58.66	26.98	64.56	25
JCIE	81.26	-2.17	67.76	67.79	92
GCIE	52.23	-42.26	11.75	43.87	164
BCIE	30.57	1.15	-46.84	46.87	271

CIELAB-Helligkeit L^*

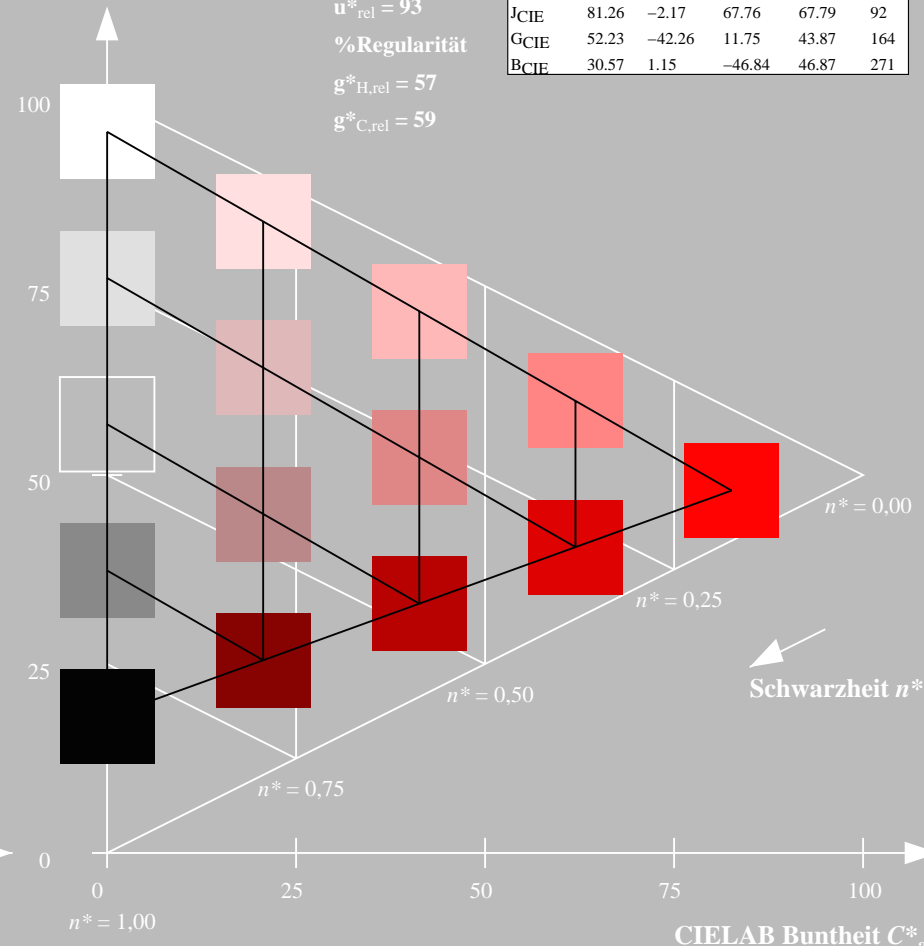
%Umfang

$u^*_{rel} = 93$

%Regularität

$g^*_{H,rel} = 57$

$g^*_{C,rel} = 59$



5 stufige Reihen für konstanten CIELAB Buntton 38/360 = 0.105 (rechts)

BAM-Prüfvorlage UG26; Farbmimetrische-Systeme MRS18a & ORS18

D65: Koordinaten-Systeme von 5stufigen Farbreihen für 10 Bunttonen

Input: $cmY0^* setcmykcolor$

Output: $olv^* setrgbcolor / w^* setgray$

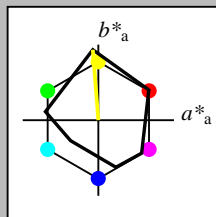
Eingabe: Farbmétrisches Reflexions-System MRS18a

für Buntton $h^* = lab^*h = 94/360 = 0.262$

D65: Buntton J

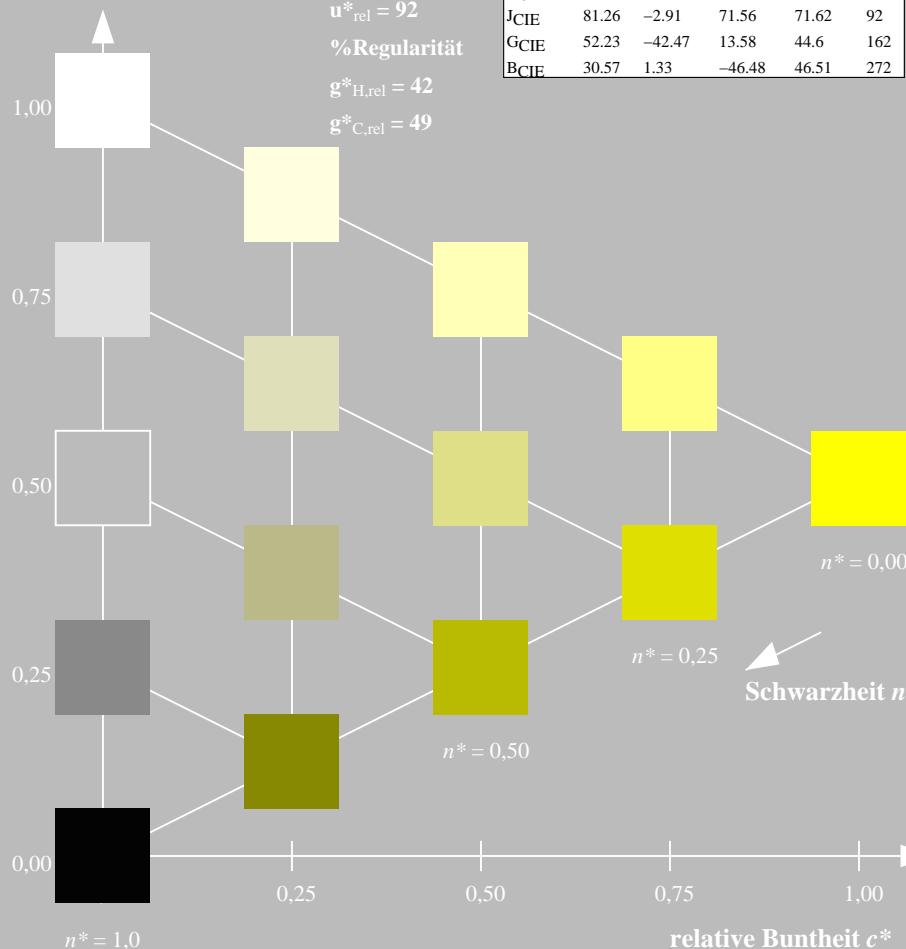
LCH*Ma: 91 93 94

rgb*Ma: 1.0 1.0 0.0



Dreiecks-Helligkeit t^*

1. **Introduction**



UG260-7, 5 stufige Reihen für konstanten CIELAB Buntton 94/360 = 0.262 (links)

BAM-Prüfvorlage UG26; Farbmeter-Systeme MRS18a & ORS18a Input: *cmy0* setcmykcolor*

D65: Koordinaten-Systeme von 5stufigen Farbreihen für 10 Bunttöne: *olv* setrgbcolor / w* setgray*

Ausgabe: Farbmétrisches Reflexions-System ORS18

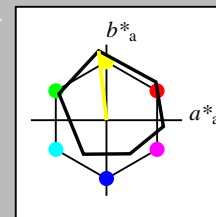
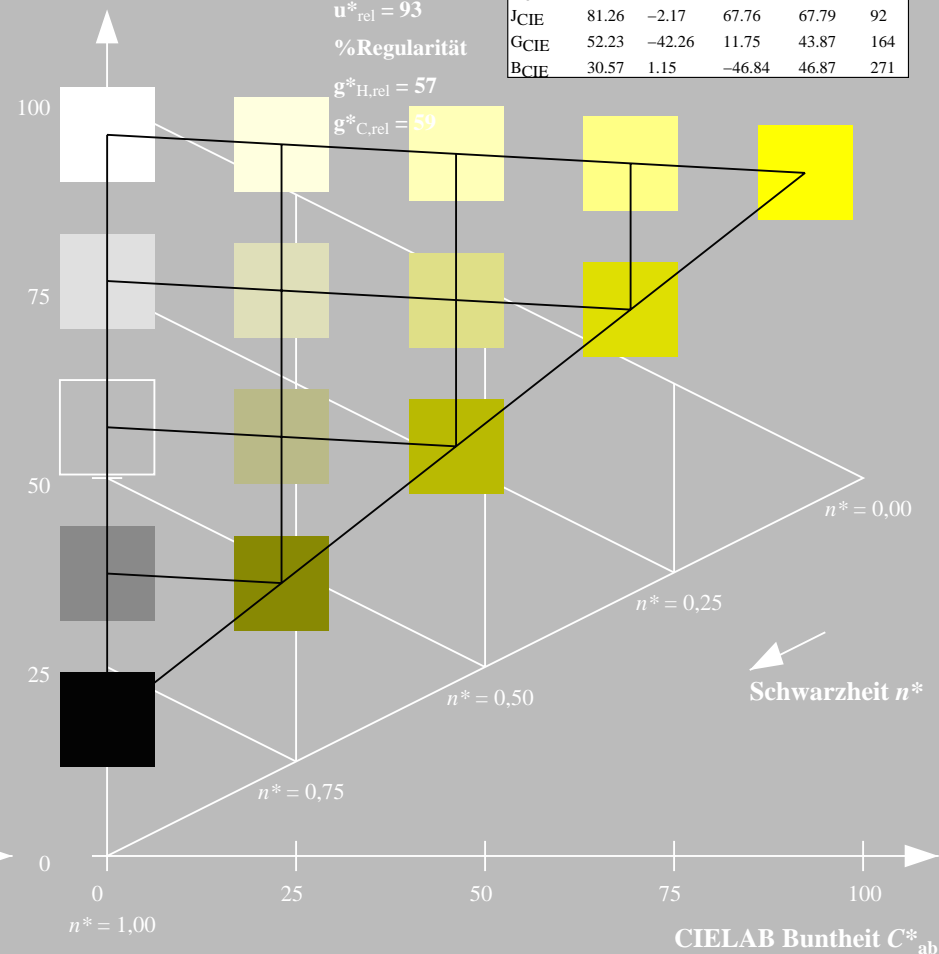
für Buntton $h^* = lab^*h = 96/360 = 0.268$

*LAB*LCH, LAB*NCH*

D65: Buntton Y

LCH*Ma: 90 92 96

rgb*Ma: 1.0 1.0 0.0

CIELAB-Helligkeit L^*
$$g^*_{C,rel} = 59$$
5 stufige Reihen für konstanten CIELAB Buntton $96/360 = 0.268$ (rechts)

Input: *cmy0* setcmykcolor*

```

tput output: olv* setrgbcolor / w* setgray

```

Eingabe: Farbmétrisches Reflexions-System MRS18a

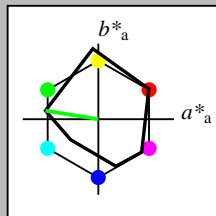
für Buntton $h^* = lab^*h = 171/360 = 0.475$

lab^*tch und lab^*nch

D65: Buntton G

LCH*Ma: 52 71 171

rgb*Ma: 0.0 1.0 0.0



MRS18a; adaptierte CIELAB-Daten					
	$L^*=L^*_a$	a^*_a	b^*_a	$C^*_{ab,a}$	$h^*_{ab,a}$
RMa	49.63	66.8	40.02	77.87	31
JMa	90.7	-7.27	93.19	93.48	94
GMa	52.11	-69.93	11.26	70.85	171
G50BMa	45.03	-36.65	-27.13	45.61	217
BMa	36.65	23.26	-62.27	66.49	290
B50RMa	34.94	57.27	-43.6	71.99	323
NMa	18.01	0.0	0.0	0.0	0
WMa	95.41	0.0	0.0	0.0	0
RCIE	39.92	58.67	27.97	64.99	25
JCIE	81.26	-2.91	71.56	71.62	92
GCIE	52.23	-42.47	13.58	44.6	162
BCIE	30.57	1.33	-46.48	46.51	272

Dreiecks-Helligkeit t^*

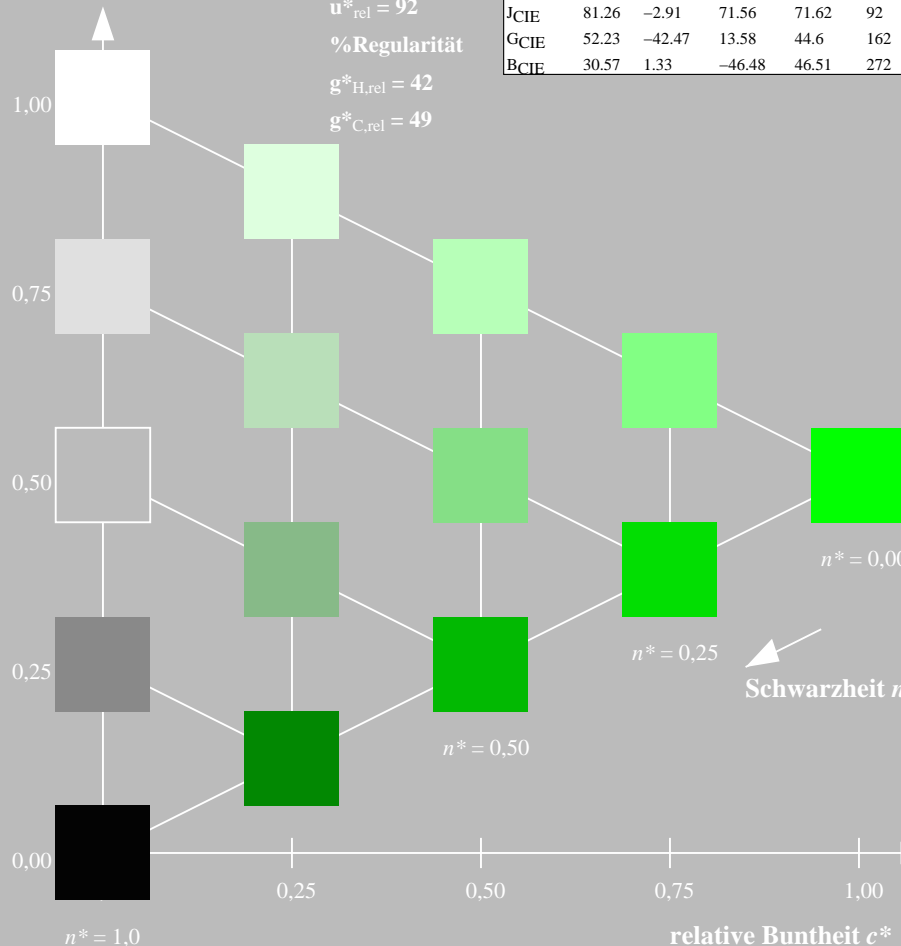
%Umfang

$u^*_{rel} = 92$

%Regularität

$g^*_{H,rel} = 42$

$g^*_{C,rel} = 49$



UG260-7, 5 stufige Reihen für konstanten CIELAB Buntton 171/360 = 0.475 (links)

Ausgabe: Farbmétrisches Reflexions-System ORS18

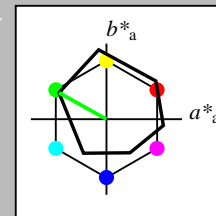
für Buntton $h^* = lab^*h = 151/360 = 0.419$

LAB^*LCH , LAB^*NCH

D65: Buntton L

LCH*Ma: 51 72 151

rgb*Ma: 0.0 1.0 0.0



ORS18; adaptierte CIELAB-Daten					
	$L^*=L^*_a$	a^*_a	b^*_a	$C^*_{ab,a}$	$h^*_{ab,a}$
OMa	47.94	65.37	50.52	82.62	38
YMa	90.37	-10.27	91.77	92.34	96
LMa	50.9	-62.79	34.95	71.87	151
CMa	58.62	-30.35	-45.01	54.3	236
VMa	25.71	31.11	-44.42	54.24	305
MMa	48.13	75.27	-8.35	75.73	354
NMa	18.01	0.0	0.0	0.0	0
WMa	95.41	0.0	0.0	0.0	0
RCIE	39.92	58.66	26.98	64.56	25
JCIE	81.26	-2.17	67.76	67.79	92
GCIE	52.23	-42.26	11.75	43.87	164
BCIE	30.57	1.15	-46.84	46.87	271

CIELAB-Helligkeit L^*

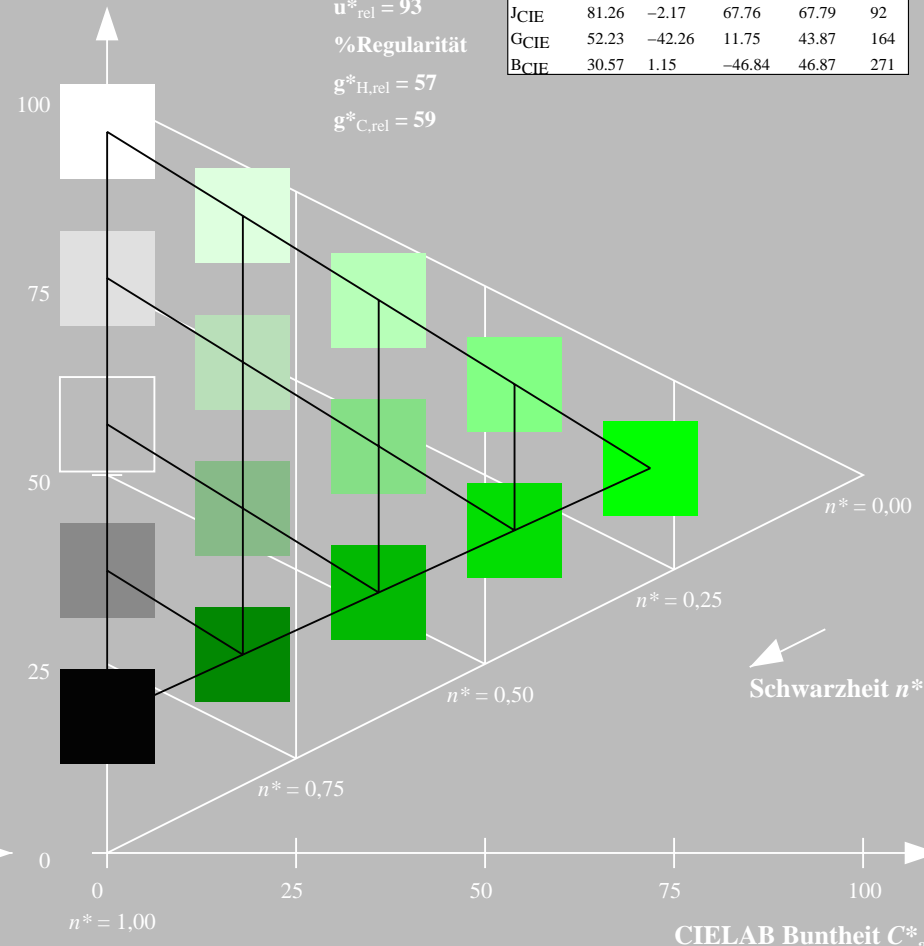
%Umfang

$u^*_{rel} = 93$

%Regularität

$g^*_{H,rel} = 57$

$g^*_{C,rel} = 59$



5 stufige Reihen für konstanten CIELAB Buntton 151/360 = 0.419 (rechts)

BAM-Prüfvorlage UG26; Farbmétrik-Systeme MRS18a & ORS18

D65: Koordinaten-Systeme von 5stufigen Farbreihen für 10 Bunttonen

Input: $cmY^*setcmY^*color$

Output: $olv^*setrgbcolor / w^*setgray$

Eingabe: Farbmimetrisches Reflexions-System MRS18a

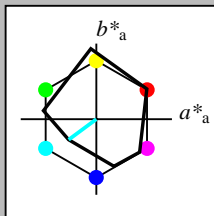
für Buntton $h^* = lab^*h = 217/360 = 0.601$

lab^*tch und lab^*nch

D65: Buntton G50B

LCH*Ma: 45 46 217

rgb*Ma: 0.0 1.0 1.0



MRS18a; adaptierte CIELAB-Daten					
	$L^*=L^*_a$	a^*_a	b^*_a	$C^*_{ab,a}$	$h^*_{ab,a}$
RMa	49.63	66.8	40.02	77.87	31
JMa	90.7	-7.27	93.19	93.48	94
GMa	52.11	-69.93	11.26	70.85	171
G50B _{Ma}	45.03	-36.65	-27.13	45.61	217
B _{Ma}	36.65	23.26	-62.27	66.49	290
B50R _{Ma}	34.94	57.27	-43.6	71.99	323
N _{Ma}	18.01	0.0	0.0	0.0	0
W _{Ma}	95.41	0.0	0.0	0.0	0
RCIE	39.92	58.67	27.97	64.99	25
JCIE	81.26	-2.91	71.56	71.62	92
GCIE	52.23	-42.47	13.58	44.6	162
BCIE	30.57	1.33	-46.48	46.51	272

Dreiecks-Helligkeit t^*

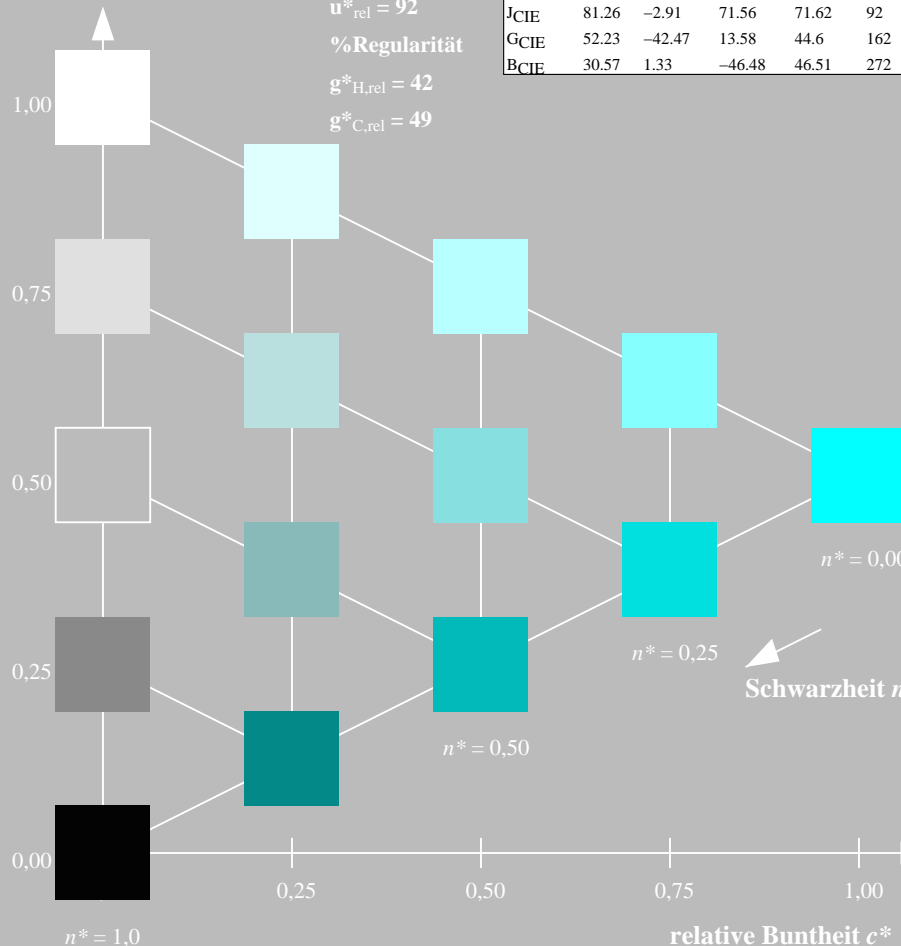
%Umfang

$u^*_{rel} = 92$

%Regularität

$g^*_{H,rel} = 42$

$g^*_{C,rel} = 49$



UG260-7, 5 stufige Reihen für konstanten CIELAB Buntton $217/360 = 0.601$ (links)

Ausgabe: Farbmimetrisches Reflexions-System ORS18

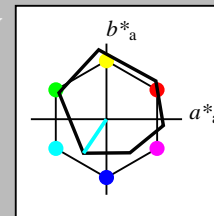
für Buntton $h^* = lab^*h = 236/360 = 0.656$

LAB^*LCH , LAB^*NCH

D65: Buntton C

LCH*Ma: 59 54 236

rgb*Ma: 0.0 1.0 1.0



ORS18; adaptierte CIELAB-Daten					
	$L^*=L^*_a$	a^*_a	b^*_a	$C^*_{ab,a}$	$h^*_{ab,a}$
OMa	47.94	65.37	50.52	82.62	38
YMa	90.37	-10.27	91.77	92.34	96
LMa	50.9	-62.79	34.95	71.87	151
CMa	58.62	-30.35	-45.01	54.3	236
VMa	25.71	31.11	-44.42	54.24	305
MMa	48.13	75.27	-8.35	75.73	354
N _{Ma}	18.01	0.0	0.0	0.0	0
W _{Ma}	95.41	0.0	0.0	0.0	0
RCIE	39.92	58.66	26.98	64.56	25
JCIE	81.26	-2.17	67.76	67.79	92
GCIE	52.23	-42.26	11.75	43.87	164
BCIE	30.57	1.15	-46.84	46.87	271

CIELAB-Helligkeit L^*

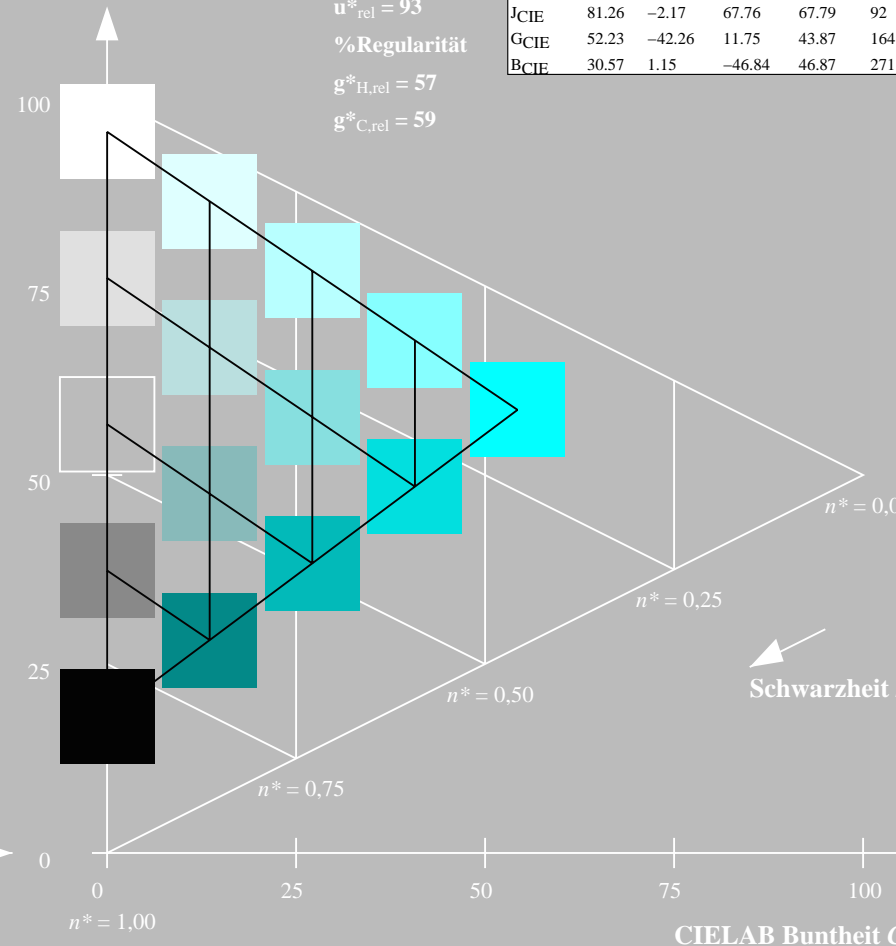
%Umfang

$u^*_{rel} = 93$

%Regularität

$g^*_{H,rel} = 57$

$g^*_{C,rel} = 59$



5 stufige Reihen für konstanten CIELAB Buntton $236/360 = 0.656$ (rechts)

BAM-Prüfvorlage UG26; Farbmimetrische-Systeme MRS18a & ORS18

D65: Koordinaten-Systeme von 5stufigen Farbreihen für 10 Bunttonen

Input: $cmY0^*setcmYcolor$

Output: $olv^*setrgbcolor / w^*setgray$

Eingabe: Farbmétrisches Reflexions-System MRS18a

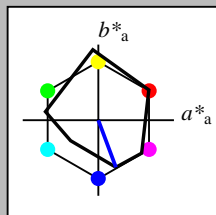
für Buntton $h^* = lab^*h = 290/360 = 0.807$

lab^*tch und lab^*nch

D65: Buntton B

LCH*Ma: 37 66 290

rgb*Ma: 0.0 0.0 1.0



MRS18a; adaptierte CIELAB-Daten					
	$L^*=L^*_a$	a^*_a	b^*_a	$C^*_{ab,a}$	$h^*_{ab,a}$
RMa	49.63	66.8	40.02	77.87	31
JMa	90.7	-7.27	93.19	93.48	94
GMa	52.11	-69.93	11.26	70.85	171
G50B _{Ma}	45.03	-36.65	-27.13	45.61	217
B _{Ma}	36.65	23.26	-62.27	66.49	290
B50R _{Ma}	34.94	57.27	-43.6	71.99	323
N _{Ma}	18.01	0.0	0.0	0.0	0
W _{Ma}	95.41	0.0	0.0	0.0	0
RCIE	39.92	58.67	27.97	64.99	25
JCIE	81.26	-2.91	71.56	71.62	92
GCIE	52.23	-42.47	13.58	44.6	162
BCIE	30.57	1.33	-46.48	46.51	272

Dreiecks-Helligkeit t^*

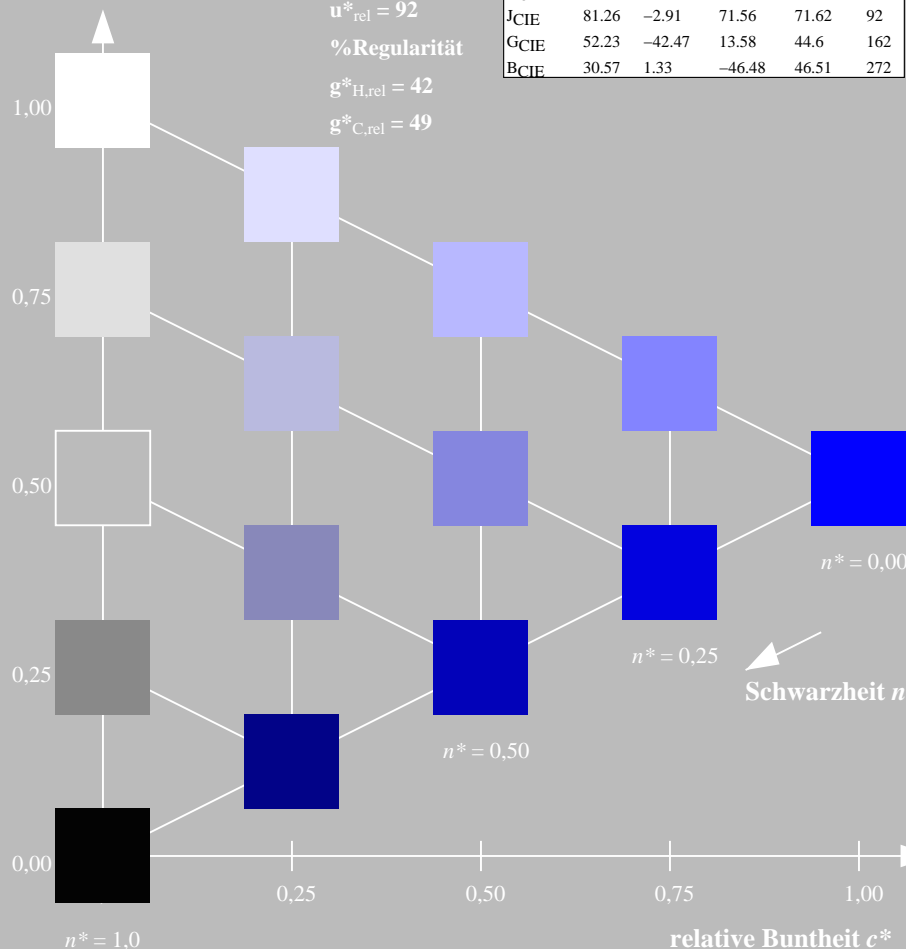
%Umfang

$u^*_{rel} = 92$

%Regularität

$g^*_{H,rel} = 42$

$g^*_{C,rel} = 49$



UG260-7, 5 stufige Reihen für konstanten CIELAB Buntton 290/360 = 0.807 (links)

Ausgabe: Farbmétrisches Reflexions-System ORS18

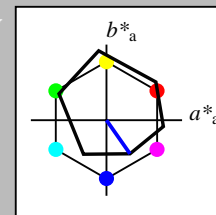
für Buntton $h^* = lab^*h = 305/360 = 0.847$

LAB^*LCH , LAB^*NCH

D65: Buntton V

LCH*Ma: 26 54 305

rgb*Ma: 0.0 0.0 1.0



ORS18; adaptierte CIELAB-Daten					
	$L^*=L^*_a$	a^*_a	b^*_a	$C^*_{ab,a}$	$h^*_{ab,a}$
OMa	47.94	65.37	50.52	82.62	38
YMa	90.37	-10.27	91.77	92.34	96
LMa	50.9	-62.79	34.95	71.87	151
CMa	58.62	-30.35	-45.01	54.3	236
V _{Ma}	25.71	31.11	-44.42	54.24	305
M _{Ma}	48.13	75.27	-8.35	75.73	354
N _{Ma}	18.01	0.0	0.0	0.0	0
W _{Ma}	95.41	0.0	0.0	0.0	0
RCIE	39.92	58.66	26.98	64.56	25
JCIE	81.26	-2.17	67.76	67.79	92
GCIE	52.23	-42.26	11.75	43.87	164
BCIE	30.57	1.15	-46.84	46.87	271

CIELAB-Helligkeit L^*

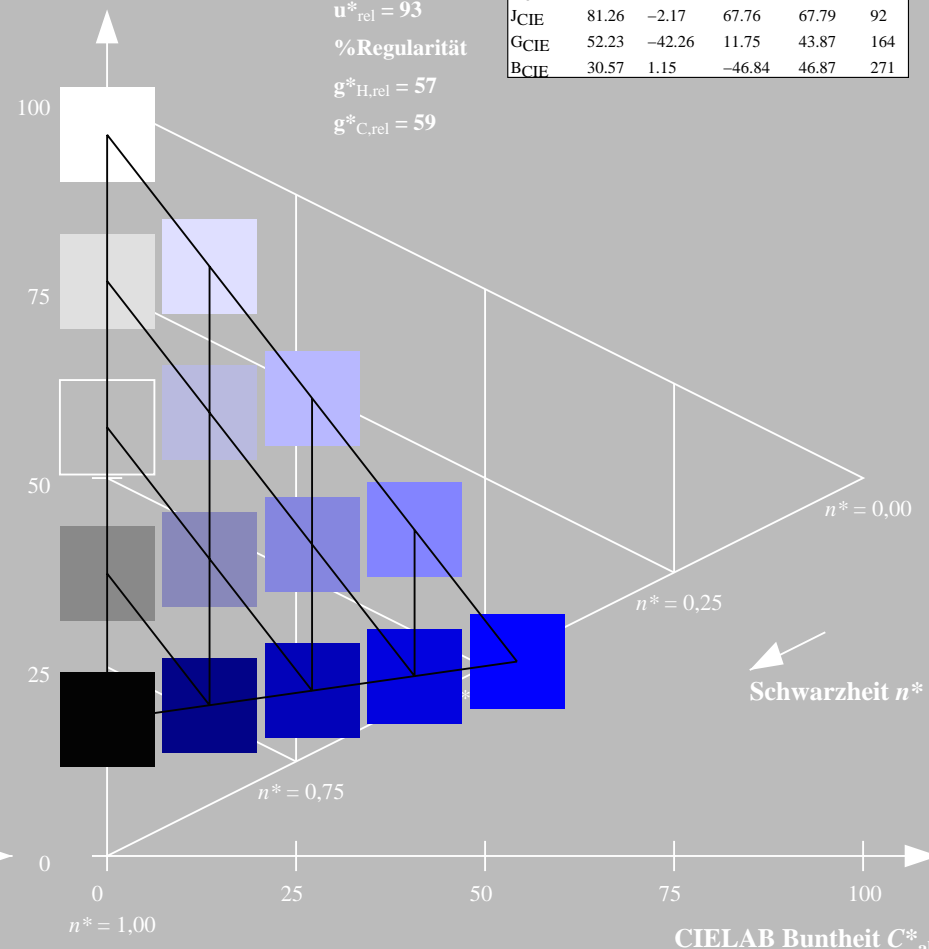
%Umfang

$u^*_{rel} = 93$

%Regularität

$g^*_{H,rel} = 57$

$g^*_{C,rel} = 59$



5 stufige Reihen für konstanten CIELAB Buntton 305/360 = 0.847 (rechts)

BAM-Prüfvorlage UG26; Farbmétrik-Systeme MRS18a & ORS18

D65: Koordinaten-Systeme von 5stufigen Farbreihen für 10 Bunttonen

Input: cmY^*set cmY^*color

Output: olv^*set rgb^*color / w^*set $gray$

Eingabe: Farbmétrisches Reflexions-System MRS18a

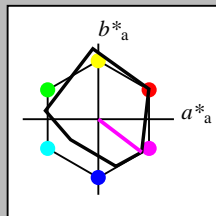
für Buntton $h^* = lab^*h = 323/360 = 0.896$

lab^*tch und lab^*nch

D65: Buntton B50R

LCH*Ma: 35 72 323

rgb*Ma: 1.0 0.0 1.0



MRS18a; adaptierte CIELAB-Daten					
	$L^*=L^*_a$	a^*_a	b^*_a	$C^*_{ab,a}$	$h^*_{ab,a}$
RMa	49.63	66.8	40.02	77.87	31
JMa	90.7	-7.27	93.19	93.48	94
GMa	52.11	-69.93	11.26	70.85	171
G50B _{Ma}	45.03	-36.65	-27.13	45.61	217
B _{Ma}	36.65	23.26	-62.27	66.49	290
B50R _{Ma}	34.94	57.27	-43.6	71.99	323
N _{Ma}	18.01	0.0	0.0	0.0	0
W _{Ma}	95.41	0.0	0.0	0.0	0
RCIE	39.92	58.67	27.97	64.99	25
JCIE	81.26	-2.91	71.56	71.62	92
GCIE	52.23	-42.47	13.58	44.6	162
BCIE	30.57	1.33	-46.48	46.51	272

Dreiecks-Helligkeit t^*

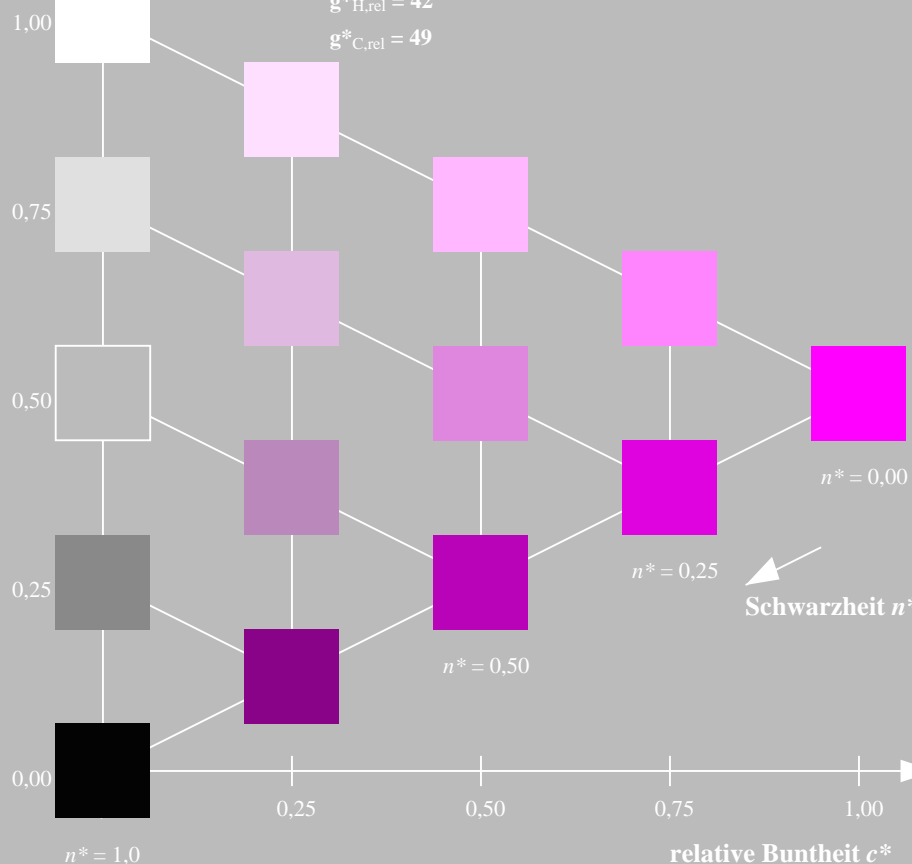
%Umfang

$u^*_{rel} = 92$

%Regularität

$g^*_{H,rel} = 42$

$g^*_{C,rel} = 49$



UG260-7, 5 stufige Reihen für konstanten CIELAB Buntton 323/360 = 0.896 (links)

Ausgabe: Farbmétrisches Reflexions-System ORS18

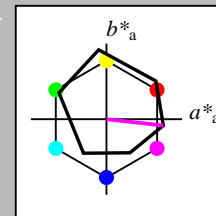
für Buntton $h^* = lab^*h = 354/360 = 0.982$

LAB^*LCH , LAB^*NCH

D65: Buntton M

LCH*Ma: 48 76 354

rgb*Ma: 1.0 0.0 1.0



ORS18; adaptierte CIELAB-Daten					
	$L^*=L^*_a$	a^*_a	b^*_a	$C^*_{ab,a}$	$h^*_{ab,a}$
OMa	47.94	65.37	50.52	82.62	38
YMa	90.37	-10.27	91.77	92.34	96
LMa	50.9	-62.79	34.95	71.87	151
CMa	58.62	-30.35	-45.01	54.3	236
V _{Ma}	25.71	31.11	-44.42	54.24	305
M _{Ma}	48.13	75.27	-8.35	75.73	354
N _{Ma}	18.01	0.0	0.0	0.0	0
W _{Ma}	95.41	0.0	0.0	0.0	0
RCIE	39.92	58.66	26.98	64.56	25
JCIE	81.26	-2.17	67.76	67.79	92
GCIE	52.23	-42.26	11.75	43.87	164
BCIE	30.57	1.15	-46.84	46.87	271

CIELAB-Helligkeit L^*

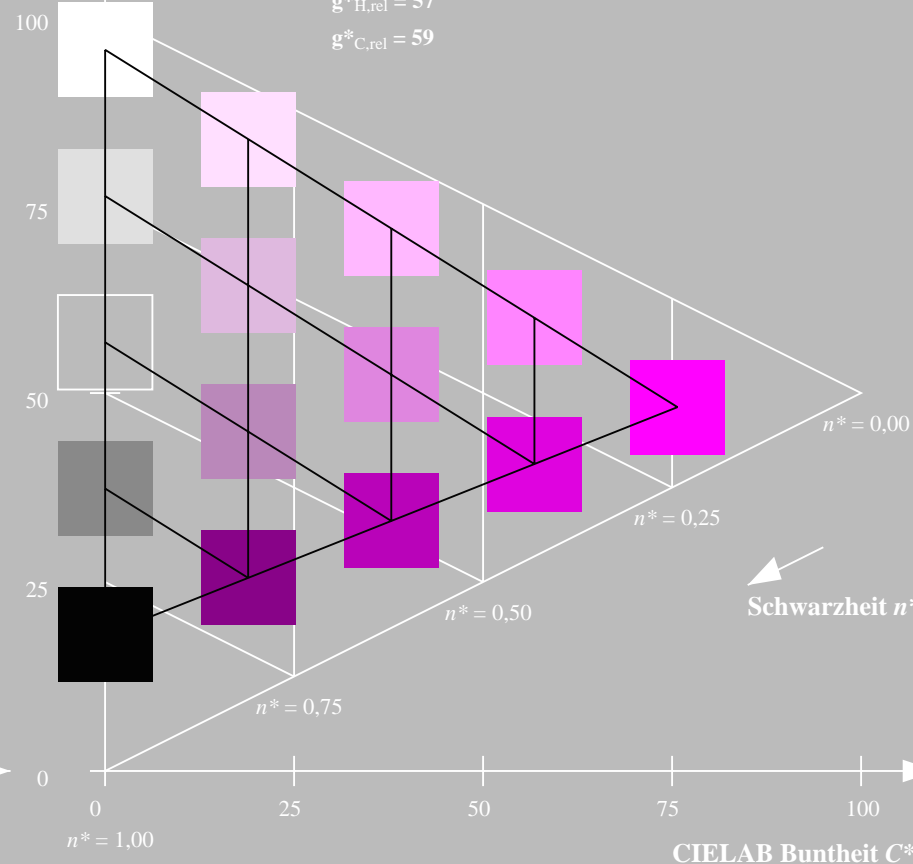
%Umfang

$u^*_{rel} = 93$

%Regularität

$g^*_{H,rel} = 57$

$g^*_{C,rel} = 59$



5 stufige Reihen für konstanten CIELAB Buntton 354/360 = 0.982 (rechts)

BAM-Prüfvorlage UG26; Farbmétrik-Systeme MRS18a & ORS18

D65: Koordinaten-Systeme von 5stufigen Farbreihen für 10 Bunttonen

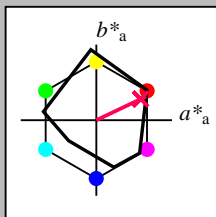
Input: $cmY0^* setcmykcolor$

Output: $olv^* setrgbcolor / w^* setgray$

Eingabe: Farbmimetrisches Reflexions-System MRS18a

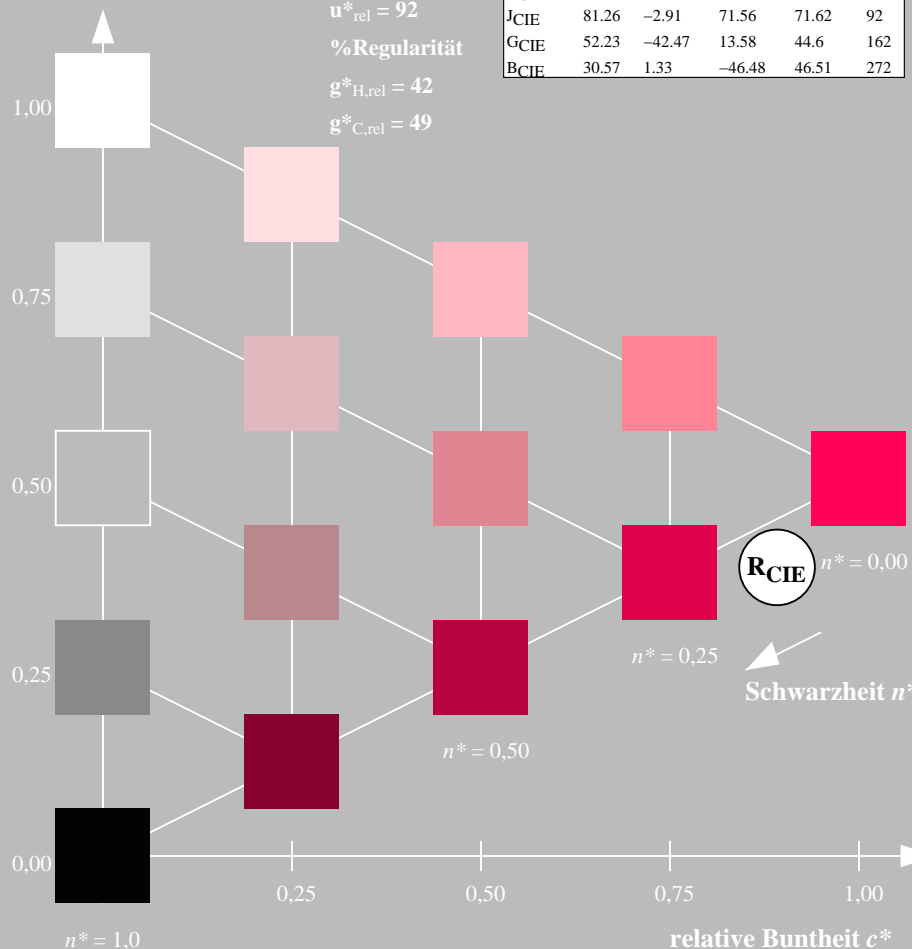
für Buntton $h^* = lab \cdot h = 25/360 = 0.071$
 $lab \cdot tch$ und $lab \cdot nch$

D65: Buntton R
LCH*Ma: 48 73 25
rgb*Ma: 1.0 0.0 0.1



MRS18a; adaptierte CIELAB-Daten					
	$L^*=L^*_a$	a^*_a	b^*_a	$C^*_{ab,a}$	$h^*_{ab,a}$
RMa	49.63	66.8	40.02	77.87	31
JMa	90.7	-7.27	93.19	93.48	94
GMa	52.11	-69.93	11.26	70.85	171
G50BMa	45.03	-36.65	-27.13	45.61	217
BMa	36.65	23.26	-62.27	66.49	290
B50RMa	34.94	57.27	-43.6	71.99	323
NMa	18.01	0.0	0.0	0.0	0
WMa	95.41	0.0	0.0	0.0	0
RCIE	39.92	58.67	27.97	64.99	25
JCIE	81.26	-2.91	71.56	71.62	92
GCIE	52.23	-42.47	13.58	44.6	162
BCIE	30.57	1.33	-46.48	46.51	272

Dreiecks-Helligkeit t^*

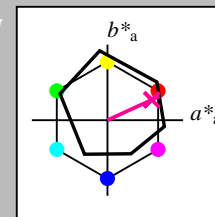


UG260-7, 5 stufige Reihen für konstanten CIELAB Buntton 25/360 = 0.071 (links)

Ausgabe: Farbmimetrisches Reflexions-System ORS18

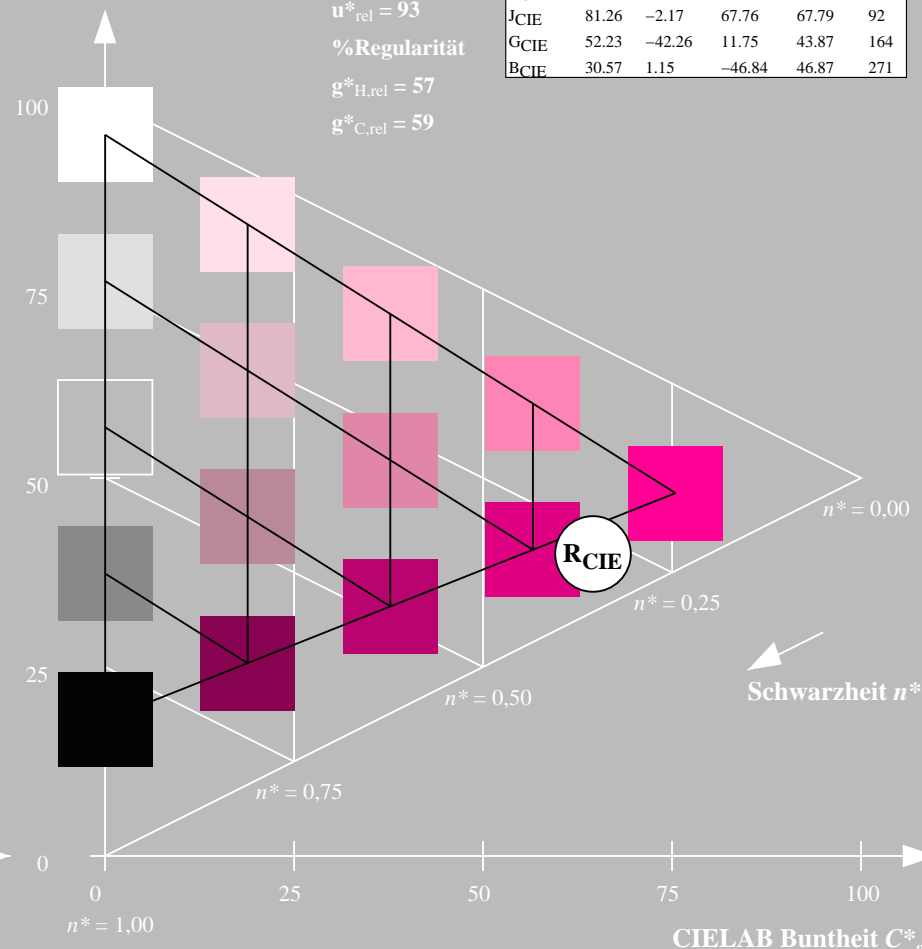
für Buntton $h^* = lab \cdot h = 25/360 = 0.069$
 $LAB \cdot LCH$, $LAB \cdot NCH$

D65: Buntton R
LCH*Ma: 48 75 25
rgb*Ma: 1.0 0.0 0.32



ORS18; adaptierte CIELAB-Daten					
	$L^*=L^*_a$	a^*_a	b^*_a	$C^*_{ab,a}$	$h^*_{ab,a}$
OMa	47.94	65.37	50.52	82.62	38
YMa	90.37	-10.27	91.77	92.34	96
LMa	50.9	-62.79	34.95	71.87	151
CMa	58.62	-30.35	-45.01	54.3	236
VMa	25.71	31.11	-44.42	54.24	305
MMa	48.13	75.27	-8.35	75.73	354
NMa	18.01	0.0	0.0	0.0	0
WMa	95.41	0.0	0.0	0.0	0
RCIE	39.92	58.66	26.98	64.56	25
JCIE	81.26	-2.17	67.76	67.79	92
GCIE	52.23	-42.26	11.75	43.87	164
BCIE	30.57	1.15	-46.84	46.87	271

CIELAB-Helligkeit L^*



5 stufige Reihen für konstanten CIELAB Buntton 25/360 = 0.069 (rechts)

BAM-Prüfvorlage UG26; Farbmimetrische-Systeme MRS18a & ORS18

D65: Koordinaten-Systeme von 5stufigen Farbreihen für 10 Bunttonen
Input: $cmY0^* setcmykcolor$
Output: $olv^* setrgbcolor / w^* setgray$

Eingabe: Farbmétrisches Reflexions-System MRS18a

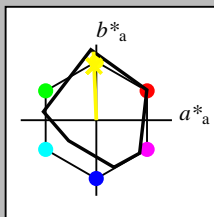
für Buntton $h^* = lab^*h = 92/360 = 0.256$

lab^*tch und lab^*nch

D65: Buntton J

LCH*Ma: 89 91 92

rgb*Ma: 1.0 0.95 0.0



MRS18a; adaptierte CIELAB-Daten					
	$L^*=L^*_a$	a^*_a	b^*_a	$C^*_{ab,a}$	$h^*_{ab,a}$
RMa	49.63	66.8	40.02	77.87	31
JMa	90.7	-7.27	93.19	93.48	94
GMa	52.11	-69.93	11.26	70.85	171
G50B _{Ma}	45.03	-36.65	-27.13	45.61	217
B _{Ma}	36.65	23.26	-62.27	66.49	290
B50R _{Ma}	34.94	57.27	-43.6	71.99	323
N _{Ma}	18.01	0.0	0.0	0.0	0
W _{Ma}	95.41	0.0	0.0	0.0	0
RCIE	39.92	58.67	27.97	64.99	25
JCIE	81.26	-2.91	71.56	71.62	92
GCIE	52.23	-42.47	13.58	44.6	162
BCIE	30.57	1.33	-46.48	46.51	272

Dreiecks-Helligkeit t^*

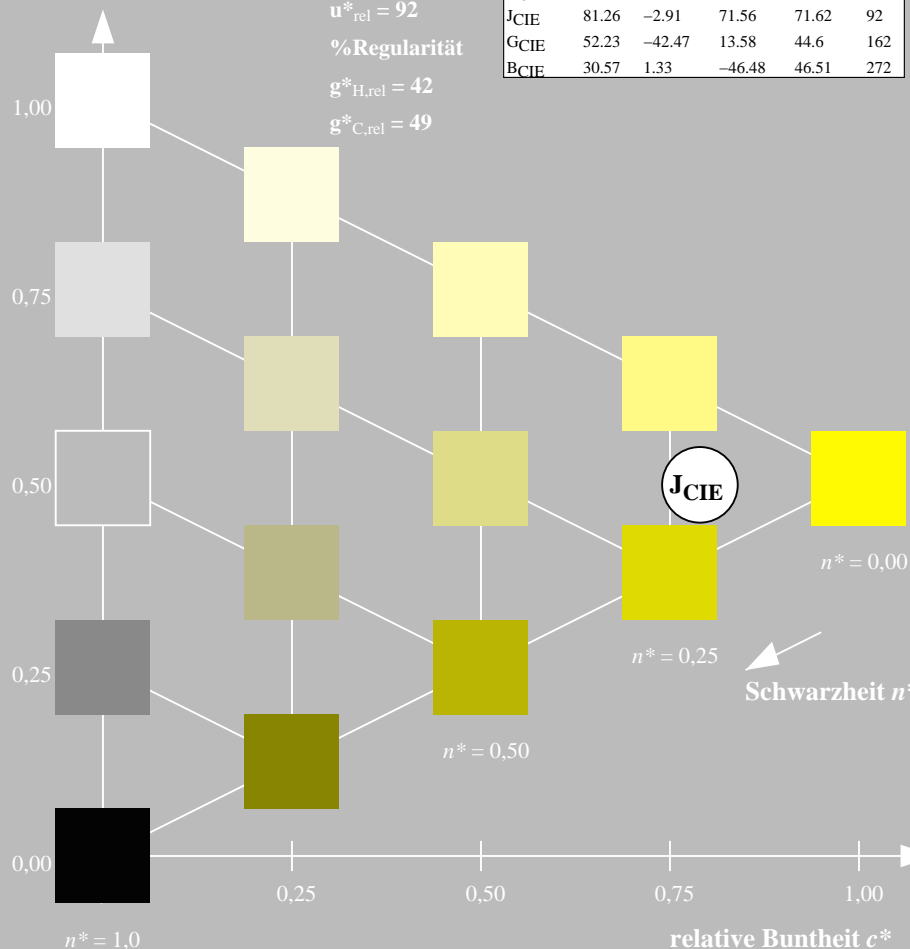
%Umfang

$u^*_{rel} = 92$

%Regularität

$g^*_{H,rel} = 42$

$g^*_{C,rel} = 49$



UG260-7, 5 stufige Reihen für konstanten CIELAB Buntton 92/360 = 0.256 (links)

Ausgabe: Farbmétrisches Reflexions-System ORS18

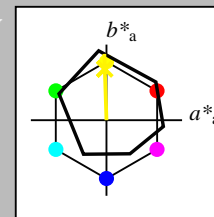
für Buntton $h^* = lab^*h = 92/360 = 0.255$

LAB^*LCH , LAB^*NCH

D65: Buntton J

LCH*Ma: 86 88 92

rgb*Ma: 1.0 0.9 0.0



ORS18; adaptierte CIELAB-Daten					
	$L^*=L^*_a$	a^*_a	b^*_a	$C^*_{ab,a}$	$h^*_{ab,a}$
OMa	47.94	65.37	50.52	82.62	38
YMa	90.37	-10.27	91.77	92.34	96
LMa	50.9	-62.79	34.95	71.87	151
CMa	58.62	-30.35	-45.01	54.3	236
V _{Ma}	25.71	31.11	-44.42	54.24	305
M _{Ma}	48.13	75.27	-8.35	75.73	354
N _{Ma}	18.01	0.0	0.0	0.0	0
W _{Ma}	95.41	0.0	0.0	0.0	0
RCIE	39.92	58.66	26.98	64.56	25
JCIE	81.26	-2.17	67.76	67.79	92
GCIE	52.23	-42.26	11.75	43.87	164
BCIE	30.57	1.15	-46.84	46.87	271

CIELAB-Helligkeit L^*

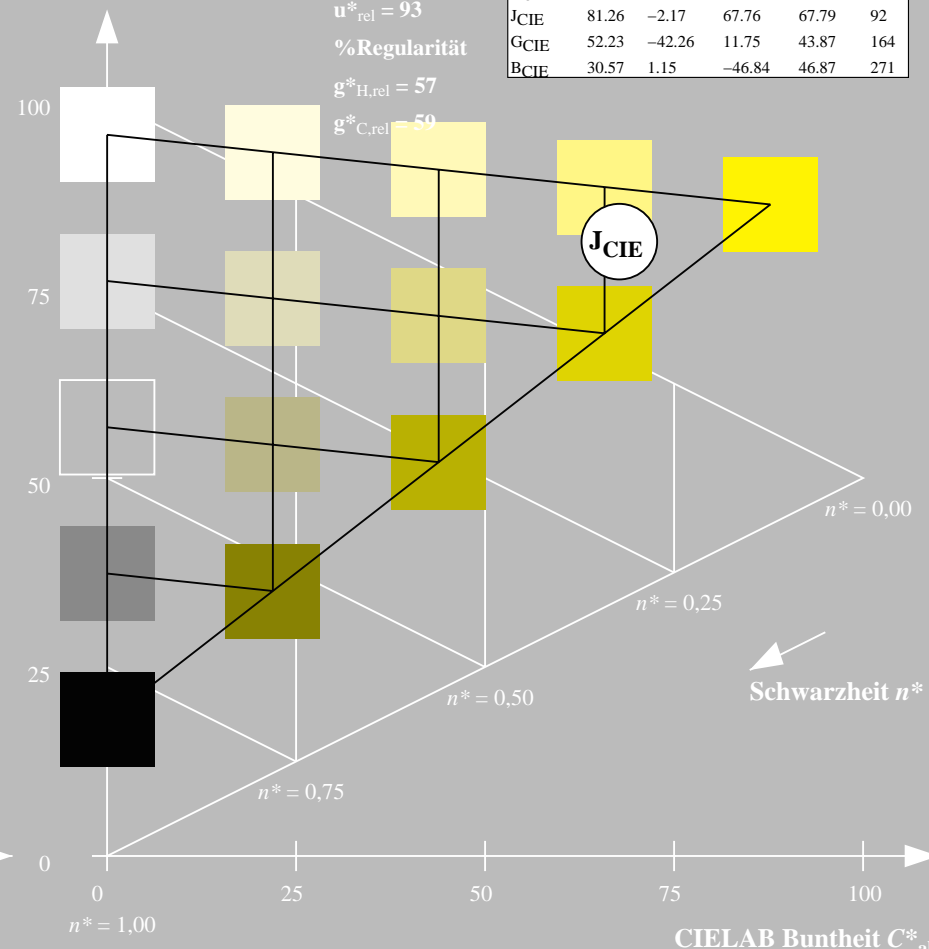
%Umfang

$u^*_{rel} = 93$

%Regularität

$g^*_{H,rel} = 57$

$g^*_{C,rel} = 59$



5 stufige Reihen für konstanten CIELAB Buntton 92/360 = 0.255 (rechts)

BAM-Prüfvorlage UG26; Farbmétrik-Systeme MRS18a & ORS18

D65: Koordinaten-Systeme von 5stufigen Farbreihen für 10 Bunttonen

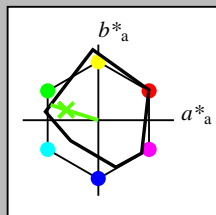
Input: $cmy0^* setcmykcolor$

Input: $olv^* setrgbcolor / w^* setgray$

Eingabe: Farbmimetrisches Reflexions-System MRS18a

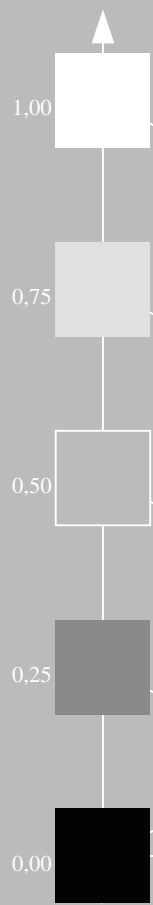
für Buntton $h^* = lab^*h = 162/360 = 0.451$
 lab^*tch und lab^*nch

D65: Buntton G
LCH*Ma: 56 66 162
rgb*Ma: 0.11 1.0 0.0



MRS18a; adaptierte CIELAB-Daten					
	$L^*=L^*_a$	a^*_a	b^*_a	$C^*_{ab,a}$	$h^*_{ab,a}$
RMa	49.63	66.8	40.02	77.87	31
JMa	90.7	-7.27	93.19	93.48	94
GMa	52.11	-69.93	11.26	70.85	171
G50BMa	45.03	-36.65	-27.13	45.61	217
BMa	36.65	23.26	-62.27	66.49	290
B50RMa	34.94	57.27	-43.6	71.99	323
NMa	18.01	0.0	0.0	0.0	0
WMa	95.41	0.0	0.0	0.0	0
RCIE	39.92	58.67	27.97	64.99	25
JCIE	81.26	-2.91	71.56	71.62	92
GCIE	52.23	-42.47	13.58	44.6	162
BCIE	30.57	1.33	-46.48	46.51	272

Dreiecks-Helligkeit t^*



%Umfang
 $u^*_{rel} = 92$
%Regularität
 $g^*_{H,rel} = 42$
 $g^*_{C,rel} = 49$

GCIE

$n^* = 0.00$

$n^* = 0.25$

$n^* = 0.50$

Schwarzheit n^*

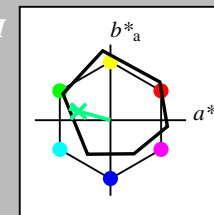
relative Buntheit c^*

UG260-7, 5 stufige Reihen für konstanten CIELAB Buntton $162/360 = 0.451$ (links)

Ausgabe: Farbmimetrisches Reflexions-System ORS18

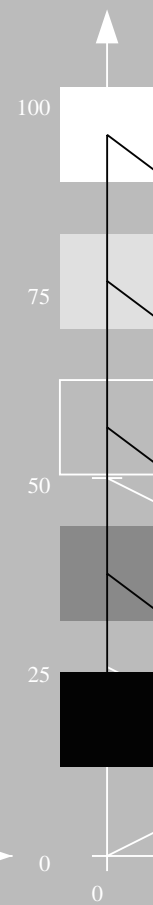
für Buntton $h^* = lab^*h = 164/360 = 0.457$
 LAB^*LCH , LAB^*NCH

D65: Buntton G
LCH*Ma: 53 57 164
rgb*Ma: 0.0 1.0 0.25



ORS18; adaptierte CIELAB-Daten					
	$L^*=L^*_a$	a^*_a	b^*_a	$C^*_{ab,a}$	$h^*_{ab,a}$
OMa	47.94	65.37	50.52	82.62	38
YMa	90.37	-10.27	91.77	92.34	96
LMa	50.9	-62.79	34.95	71.87	151
CMa	58.62	-30.35	-45.01	54.3	236
VMa	25.71	31.11	-44.42	54.24	305
MMa	48.13	75.27	-8.35	75.73	354
NMa	18.01	0.0	0.0	0.0	0
WMa	95.41	0.0	0.0	0.0	0
RCIE	39.92	58.66	26.98	64.56	25
JCIE	81.26	-2.17	67.76	67.79	92
GCIE	52.23	-42.26	11.75	43.87	164
BCIE	30.57	1.15	-46.84	46.87	271

CIELAB-Helligkeit L^*



%Umfang
 $u^*_{rel} = 93$
%Regularität
 $g^*_{H,rel} = 57$
 $g^*_{C,rel} = 59$

GCIE

$n^* = 0.00$

$n^* = 0.25$

$n^* = 0.50$

$n^* = 0.75$

Schwarzheit n^*

CIELAB Buntheit C^*_{ab}

5 stufige Reihen für konstanten CIELAB Buntton $164/360 = 0.457$ (rechts)

BAM-Prüfvorlage UG26; Farbmimetrische-Systeme MRS18a & ORS18

D65: Koordinaten-Systeme von 5stufigen Farbreihen für 10 Bunttonen
Input: $cmY0^* setcmYcolor$
Output: $olv^* setrgbcolor / w^* setgray$

Eingabe: Farbmimetrisches Reflexions-System MRS18a

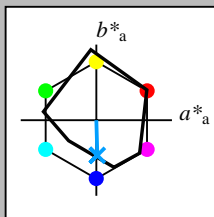
für Buntton $h^* = lab^*h = 272/360 = 0,755$

lab^*tch und lab^*nch

D65: Buntton B

LCH*Ma: 40 49 272

rgb*Ma: 0.0 0.36 1.0



MRS18a; adaptierte CIELAB-Daten					
	$L^*=L^*_a$	a^*_a	b^*_a	$C^*_{ab,a}$	$h^*_{ab,a}$
RMa	49.63	66.8	40.02	77.87	31
JMa	90.7	-7.27	93.19	93.48	94
GMa	52.11	-69.93	11.26	70.85	171
G50BMa	45.03	-36.65	-27.13	45.61	217
BMa	36.65	23.26	-62.27	66.49	290
B50RMa	34.94	57.27	-43.6	71.99	323
NMa	18.01	0.0	0.0	0.0	0
WMa	95.41	0.0	0.0	0.0	0
RCIE	39.92	58.67	27.97	64.99	25
JCIE	81.26	-2.91	71.56	71.62	92
GCIE	52.23	-42.47	13.58	44.6	162
BCIE	30.57	1.33	-46.48	46.51	272

Dreiecks-Helligkeit t^*

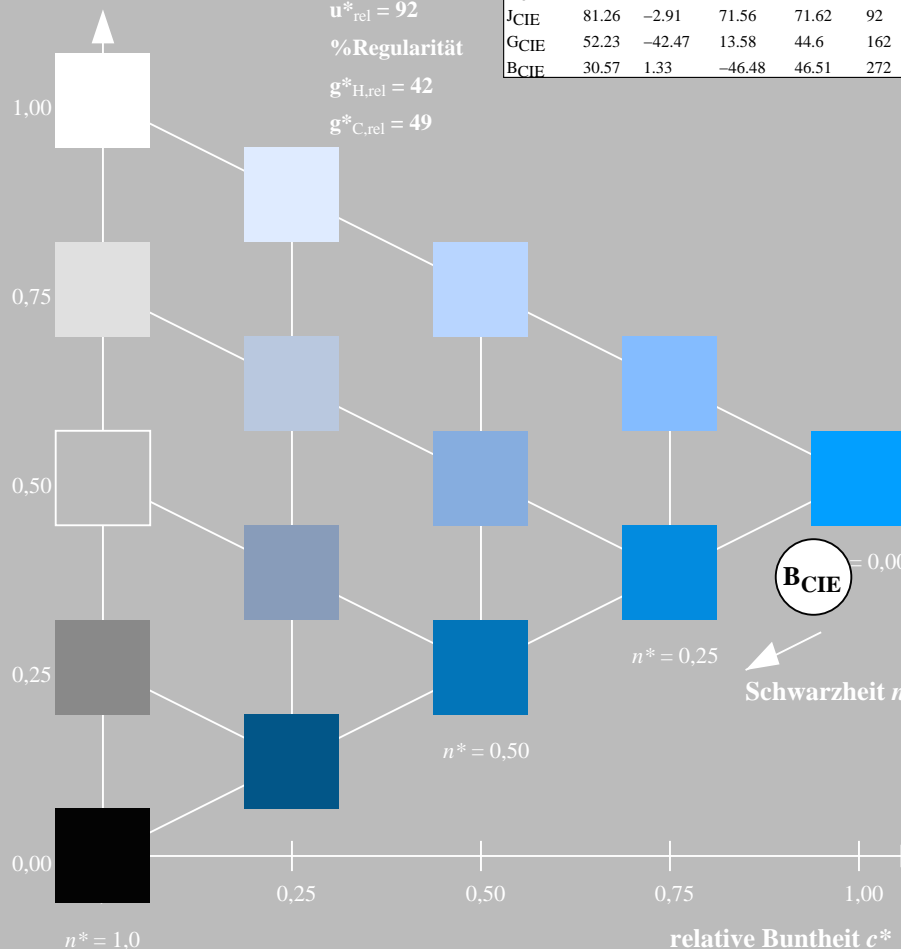
%Umfang

$u^*_{rel} = 92$

%Regularität

$g^*_{H,rel} = 42$

$g^*_{C,rel} = 49$



UG260-7, 5 stufige Reihen für konstanten CIELAB Buntton $272/360 = 0,755$ (links)

Ausgabe: Farbmimetrisches Reflexions-System ORS18

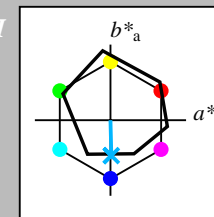
für Buntton $h^* = lab^*h = 271/360 = 0,754$

LAB^*LCH , LAB^*NCH

D65: Buntton B

LCH*Ma: 42 45 271

rgb*Ma: 0.0 0.49 1.0



ORS18; adaptierte CIELAB-Daten					
	$L^*=L^*_a$	a^*_a	b^*_a	$C^*_{ab,a}$	$h^*_{ab,a}$
OMa	47.94	65.37	50.52	82.62	38
YMa	90.37	-10.27	91.77	92.34	96
LMa	50.9	-62.79	34.95	71.87	151
CMa	58.62	-30.35	-45.01	54.3	236
VMa	25.71	31.11	-44.42	54.24	305
MMa	48.13	75.27	-8.35	75.73	354
NMa	18.01	0.0	0.0	0.0	0
WMa	95.41	0.0	0.0	0.0	0
RCIE	39.92	58.66	26.98	64.56	25
JCIE	81.26	-2.17	67.76	67.79	92
GCIE	52.23	-42.26	11.75	43.87	164
BCIE	30.57	1.15	-46.84	46.87	271

CIELAB-Helligkeit L^*

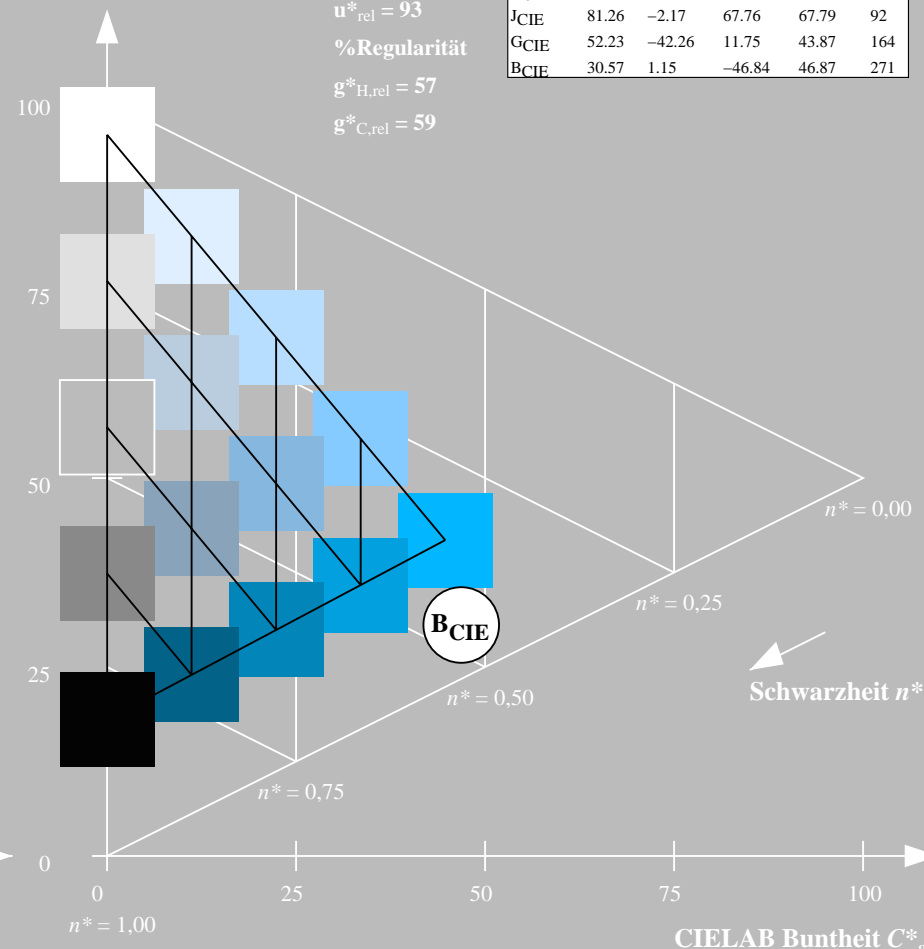
%Umfang

$u^*_{rel} = 93$

%Regularität

$g^*_{H,rel} = 57$

$g^*_{C,rel} = 59$



5 stufige Reihen für konstanten CIELAB Buntton $271/360 = 0,754$ (rechts)

BAM-Prüfvorlage UG26; Farbmimetrische-Systeme MRS18a & ORS18

D65: Koordinaten-Systeme von 5stufigen Farbreihen für 10 Bunttonen

Input: $cmY^*setcmYcolor$

Output: $olv^*setrgbcolor / w^*setgray$